

# 水利構造物의 破壞危險度와 設計洪水量에 관한 水文學的研究(Ⅱ)

—非年超過值 系列을 中心으로—

## Hydrological Studies on the design flood and risk of failure of the Hydraulic Structures(Ⅱ)

李 淳 赫\* · 朴 明 根\*\*  
Lee, Soon Hyuk · Park, Myeong Keun

### Summary

This studies were established to find out the characteristics of frequency distribution for the number of occurrence and magnitude, probable flood flows according to the return periods, design floods, and design frequency factors for the studying basins in relation to the risk levels which can be correlated with design return period and the life of structure in the non-annual exceedance series. Eight watersheds along Han, Geum, Nak Dong and Seom Jin river basin were selected as studying basins.

The results were analyzed and summarized as follows.

- 1 Poisson distribution and Exponential distribution were tested as a good fitted distributions for the number of occurrence and magnitude for exceedance event, respectively, at selected watersheds along Han, Geum, Nak Dong and Seom Jin river basin.
2. Formulas for the probable flood flows and probable flood flows according to the return periods were derivated for the exponential distribution at the selected watersheds along Han, Geum, Nak Dong, and Seom Jin river basin.
3. Analysis for the risk of failure was connected return period with design life of structure in the non-annual exceedance series.
4. Empirical formulas for the design frequency factors were derivated from under the condition of the return periods identify with the life of structure in relation to the different risk levels in the non-annual exceedance series.
5. Design frequency factors were appeared to be increased in proportion to the return periods while those are in inverse proportion to the levels of the risk of failure. Numerical values for the design frequency factors for the non-annual exceedance series were appeared generally higher than those of annual maximum series already published by the first report.

\* 忠北大學校 農科大學

\*\* 忠大學校 大學院

6. Design floods according to the different risk levels could be derived by using of formulas of the design frequency factors for all studying watersheds in the non-annual exceedance series.

## I. 緒論

各種水利構造物의 設計에 있어서 가장 문제가 되는 것은 設計洪水量의 決定이다. 이와 같은 設計洪水量은 設計壽命期間과 再現期間을 얼마로 할 것이며 또한 不確實性과 基本의in 危險度의 許容範圍를 얼마로 할 것이냐에 따라 다르게 된다. 破壞危險度를 고려치 않는 不適切한 設計는 곧水利構造物의 破壞와 함께 수 많은 人命과 莫大한 財產被害을 가져오게 된다. American Water Works Association<sup>1)</sup>과 Biswas 및 Chatterjee<sup>4)</sup>의 템파피에 관한 報告에 의하면 파괴된 템들의 35%가 물넘이의 설계 잘못에 起因되었다고 發表하였으며 Bernier<sup>5)</sup>는 洪水量推定에서 나타나는 不確實性을 具體化하기 위해 이의 계속적인 應用研究가 수행되었으며 Davis, Kiesel 및 Duckstein<sup>6)</sup> 역시 水文設計에 Bayesian理論의 適用妥當性을 역설하였다. 또한 Yen과 Ang<sup>25)</sup>은 不確實性의追求와 함께 危險度分析을 基本으로 한 設計方法을 제시하였다. 한편 Yen<sup>24)</sup>은 再現期間과 設計壽命期間에 따른 破壞危險과 不充分한 資料와 資料의 數學的 模型追求에서 오는 不確實性의 analysis에 관해 發表하였으며 Tang과 Yen<sup>23)</sup>은 파괴 위험에 대한 安全設計를 위해 安全係數의 定立이 필요하다고 주장하였으며 Yevjevich<sup>21)</sup>는水利構造物의 安全設計를 위해 危險度와 不確實性의 細分에 대한 精密分析에의 必要性을 力說하였다. 이와 같은 사실에 비추어 設計洪水量과 再現期間 및 設計壽命

期間에 따른 破壞危險度와의 相關關係를究明함이 무엇보다도 重且大也 選擇課題로서 思料되와 本研究에서는 우리 나라 主要水系인 漢江, 錦江, 洛東江 및 蟬津江의 8個流域에 대한 非年超過值 系列의 洪水確率分布特性과 이에 따른 設計頻度와 洪水量, 設計頻度 및 設計壽命期間과 危險度와의 關係分析 및 破壞危險度와 水準과 設計頻度係數 및 設計洪水量의 誘導에 관해 그 力點을 두고자 한다.

## II. 使用水文資料

### 1. 對象流域 및 河川概況

非年超過值 系列의 분석을 위해 사용된 對象流域은 漢江은 정선, 여주의 2個流域, 錦江은 석화, 구암의 2個流域, 洛東江은 임하, 동촌, 현풍의 3個流域 그리고 蟬津江은 압록流域으로서 都合 8個流域을 選定하였다며 非年超過值 系列의 水文資料는 每年 最大洪水量值만으로 구성된 年最高系列과는 달리 超過基準值 이상의 尖頭洪水로서 이루어지며 時系列의 獨立性을 위하여 美國水資源協議會(Water Resources Council)에서 제시한 流域面積(mile<sup>2</sup>)의 自乘에 自然對數를 取한 값에 5日을 더한 時間間隔에 준하여 洪水量을 選定하였다<sup>10,14,15,16,17,18)</sup>.

對象流域의 流域特性은 Table-1에서 보는 바와 같이 流域面積은 1,709.7~14,000.9km<sup>2</sup>의 幢위를 나타내고 있으며 主河川長은 85~367km에 이르고 平均幅은 14~38.15km이며 形狀係數는 0.07~0.18의 幢위를 나타내고 있다.

Table-1. Gauging Stations and Watershed physical characteristics for the non-annual exceedance series

River	Station	Area (km <sup>2</sup> )	Length of Main Stream (km)	Average Basin Width (km)	Shape factor	Observed Duration (yrs)	Location
Han River	Jeong Sun	1709.7	100.8	16.01	0.15	24	Long. 128°39' Lat. 37°22'
	Yeo Ju	11036.0	347.1	31.79	0.10	24	Long. 127°38' Lat. 37°18'
Geum River	Seog Hwa	1834.7	85.0	21.58	0.25	29	Long. 127°22' Lat. 36°37'
	Gyu Am	8273.0	338.0	24.48	0.07	29	Long. 126°54' Lat. 38°02'

水利構造物의 破壞危險度와 設計洪水量에 관한 水文學的研究(Ⅱ)

Nak Dong River	Im Ha	1360.5	97.2	14.00	0.14	20	Long. 128°53' Lat. 36°32'
	Dong Chon	1543.9	92.5	16.70	0.18	26	Long. 128°38' Lat. 35°53'
	Hyon Pung	14000.9	367.0	38.15	0.10	31	Long. 128°26' Lat. 35°41'
Seom Jin River	Ab Nog	2448.0	162.3	15.08	0.09	26	Long. 127°22' Lat. 35°11'

2) Exponential distribution

### III. 分析結果 및 考察

#### 1. 確率分布型 函數分析

##### 가. 確率分布型

本分析에서는 다음의 2개 確率分布型을 사용하였다.

##### 1) Poisson distribution

$$f(n; \nu t) = \frac{(\nu t)^n}{n!} e^{-\nu t} \quad n=0, 1, 2, \dots \quad (1)$$

$f(n; \nu t)$  : Poisson Probability density function

$\nu$  : The mean occurrence rate.

$$f_Y(y) = \frac{1}{r} \exp[-(y-b)/r] \quad \dots \dots \dots \quad (2)$$

$f_Y(y)$  : Exponential probability density function

$r$  : Parameter associated with exponential distribution function

$b$  : Base flow       $y$  : Peak flow magnitude

##### 나. 基本統計值

各對象流域별로 基本統計值를 구한 결과는 Table-2와 같으며 平均值은 398.59~4322.82이고 標準偏差와 分散係數는 각각 513.50~215.35 및 0.33~0.80의 범위를 나타내고 있다.

Table-2. Basic statistics for the nonannual exceedance series

River	Station	Years observed (N)	Numbers of NAe	Mean ( $X$ )	Variance ( $S^2$ )	Standard deviation ( $C_s$ )	Coefficient of variation ( $C_v$ )
Han River	Jeong Sun	24	56	398.59	46,334	215.4	0.54
	Yeo Ju	29	57	4322.82	4,551,440	2133.4	0.49
Geum River	Seog Hwa	29	61	902.39	263,675	513.5	0.57
	Gyu Am	29	57	2169.44	1,651,310	1285.0	0.59
Nak Dong River	Im Ha	20	42	478.93	73,581	271.3	0.57
	Dong Chon	26	58	669.48	289,683	538.2	0.80
	Hyon Pung	31	70	2564.90	713,958	845.0	0.33
Seom Jin River	Ab Nog	26	70	1749.69	909,986	953.9	0.55

##### 다. 確率分布型 分析

##### 1) 포아손(Poisson) 分布

非年超過值 系列事象의 確率分布에 대한 展開를 위해서는 우선적으로 어느 時間區間  $t$ 에 있어서 危險事象의 發生數에 대한 確率分布를 고려함이 必須의이다.  $N$ 를 時間區間,  $t$ 사이에 發生되는 危險事象의 數라면 다음과 같은 式(3)의 確率累加函數(probability mass function)가 된다<sup>11)</sup>.

$$F_N(n) = P(N=n) \quad n=0, 1, 2, \dots \quad (3)$$

이러한 過程에서 危險事象의 發生數,  $N$ 가 다음의

特性을 갖게 되면, 即 첫째로  $N$ 는 어느 時刻에서 나無作爲로 發生할 수 있고, 두번째로 주어진 時間區間에서 發生하는 事象은 重複되지 않는 다른 區間에 대하여 獨立의이며, 세번째로  $N$ 는 다만 어떤 危險事象에 어느 순간에 생겨질 수 있는 하나의 過程이고 그리고 네번째로 微小區間  $dt$  이내에서 發生할 危險事象의 確率은  $dt$ 에 비례하며  $\nu dt$ 로 구할 수 있는 特性으로 주어진다면 이 過程은 포아손 確率法則에 따르게 되고  $N$ 는前述한 式(1)의 確率函數를 갖게 된다. 따라서  $N$ 의 期待值은 다음의 式(4)가 된다.

포아손 분포함수에 필요한 유일한 媒介變數인 危險事象의 發生率이  $\nu$ 는 Table-3과 같다.

**Table-3. Evaluation of parameters for poisson and exponential distributions**

River	Station	Poisson	Exponential	
		$\nu$	$b$ (cms)	$r$ (cms)
Han River	Jeong Sun	2.333	200	198.59
	Yeo Ju	1.966	2000	2322.82
Geum River	Seog Hwa	2.103	300	602.39
	Gyu Am	1.966	1000	1169.44
Nak Dong River	Im Ha	2.100	190	288.93
	Dong Chon	2.231	220	449.48
	Hyon Pung	2.333	1500	1064.90
Seom Jin River	Ab Nog	2.077	790	959.69

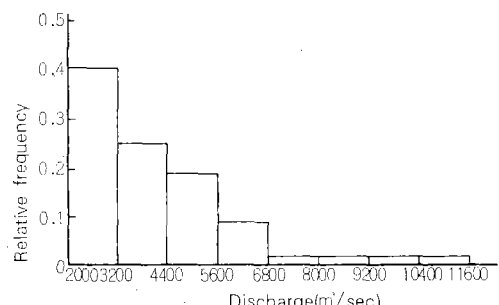
### 2) 指數(Exponential) 分布

· 非年超過值 系列에서 危險事象의 크기에 대한 頻度分布 상황을 보면 對象全體流域에서 指數分布函數의 樣相을 나타내었다. 이에 관한 標本例로서 漢江의 여주, 錦江의 석화, 洛東江의 임하, 蟬津江의 암록流域에 대한 發生頻度와 危險事象인 超過值系列洪水量과의 관계를 柱狀化한 頻度分布(frequency distribution)를 보면 Fig. 1~Fig. 4와 같다.

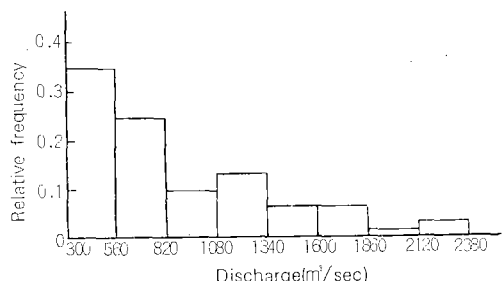
따라서 이와 같은 指數分布函數는 식(5)로 나타낼 수 있다

$$F_Y(y) = 1 - e^{\frac{-(y-b)}{r}} \quad y > b, \quad r < 0 \dots \dots \dots (5)$$

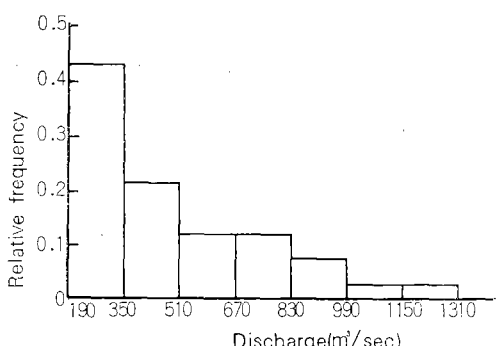
식(5)에 대한 確率密度函數는 식(2)와 같다. 指數分布函數에 요구되는 2개의 媒介變數인  $b$  즉, 非年超過值系列의 選定基準值와  $r$ 이 指數函數의 媒介變數이다.



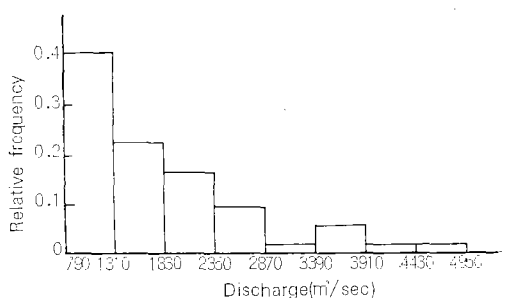
**Fig. 1. Frequency of partial duration flows for Yeo Ju Watershed along Han river**



**Fig. 2. Frequency of partial duration flows for Seog Hwa Watershed along Geum river**



**Fig. 3. Frequency of partial duration flows for Im Ha Watershed along Nak Dong river**



**Fig. 4. Frequency of partial duration flows for Ab Nog Watershed along Seom Jin river**

數의 값을 유역별로 구한結果는 Table-3과 같다.

## 2) 確率分布型 檢定

### 1) 포아손 分布의 $\chi^2$ Test.

本分析에서의 poisson 分布는 該當流域에 대한 非年超過值系列 事象의 發生數에 대한 適合性與否만을 判定하는 것이므로 여기에서는 K-S Test를 略한  $\chi^2$  Test만에 의해서 檢定하였고 그 結果는 Table-4에

## 水利構造物의 破壞危險度와 設計洪水量에 관한 水文學的研究(Ⅱ)

서 보는 바와 같이 대상유역 전체가 有意性이 없으므로 해서 비교적 높은適合度를 나타내고 있다.

### 2) 指數分布의 $\chi^2$ 및 Kolmogorov-Smirnov Test.

危險事象의 크기에 대한 指數分布의適合性與否를  $\chi^2$  및 K-S Test에 의해서 檢定한結果는 Table-5에서 보는 바와 같이 兩 Test에서 共히 높은適合性이 認定되었다. 이와 같은 高度의適合性은 資料의 部分期間系列의 하나인 非年超過值系列이 모두 尖頭流量에 관련된 分布函數의 尾部에 相應하는 母集團으로부터 抽出된 標本이기 때문인 것으로 料된다<sup>11, 22</sup>.

**Table-4.  $\chi^2$  Goodness of fit test for the poisson distribution**

River	station	$\chi^2$	Test
Han River	Jeong Sun	7.390	0
	Yeo Ju	3.751	0
Geum River	Seog Hwa	6.273	0
	Gyu Am	0.450	0
Nak Dong River	Im Ha	1.068	0
	Dong Chon	1.617	0
	Hyon Pung	1.590	0
Seom Jin River	Ab Nog	3.550	0

0 : Non significant

**Table-5.  $\chi^2$  and Kolmogorov-Smirnov test for the exponential distribution**

River	Station	$\chi^2$		K-S		
		$\chi^2$	Test	Dn	Dn 0.05	Test
Han River	Jeong Sun	5.120	0	0.089	0.270	0
	Yeo Ju	2.144	0	0.191	0.246	0
Geum River	Seog Hwa	4.976	0	0.173	0.246	0
	Gyu Am	4.412	0	0.200	0.246	0
Nak Dong River	Im Ha	1.597	0	0.123	0.294	0
	Dong Chon	9.277	0	0.240	0.260	0
	Hyon Pung	11.812	0	0.205	0.240	0
Seom Jin River	Ab Nog	0.271	0	0.199	0.260	0

率洪水量 公式을 誘導하였다.

$$y_d = b + r \tau_1 n \left[ \frac{-\nu t}{1_n \{1 - G_T(t)\}} \right] \quad (11)$$

식(11)을 期待再現期間에 관련하여 정리하면 最終的으로 다음의 식(12)가 된다.

$$y_d = b + r |n(\nu E[T])| \quad (12)$$

以上에서 구한 媒介變數들과 誘導된 確率洪水量의 一般式을 이용한 流域별 經驗公式과 再現期間별 洪水量의 결과치는 Table-6과 같으며 標本例로 漢江의 여주, 錦江의 석화, 洛東江의 임하 및 膽津江의 암록 流域의 결과를 半對數紙상에 作圖한 結果는 Fig. 5~Fig. 8과 같다.

Table-6. Formulas for the flows and probable flood flows according to the return periods for the watersheds

River	Station	Formula ( $y_d$ )	Return periods(yrs)					
			2	5	10	20	50	100
Han River	Jeong Sun	$200 + 398.59 \ln(2.33T)$	505	688	825	963	1145	1282
	Yeo Ju	$2000 + 4322.82 \ln(1.97T)$	5185	7313	8923	10533	12662	14272
Geum River	Seog Hwa	$300 + 602.39 \ln(2.10T)$	1164	1716	2134	2552	3103	3521
	Gyu Am	$1000 + 1169.44 \ln(1.97T)$	2604	3675	4486	5296	6368	7178
Nak Dong River	Im Ha	$190 + 288.93 \ln(2.10T)$	665	869	1070	1270	1535	1735
	Dong Chon	$220 + 449.48 \ln(2.23T)$	892	1304	1615	1927	2339	2650
	Hyon Pung	$1500 + 1064.90 \ln(2.26T)$	3106	4082	4820	5558	6534	7272
Seom Jin River	Ab Nog	$790 + 959.69 \ln(2.08T)$	2158	3037	3703	4368	5247	5912

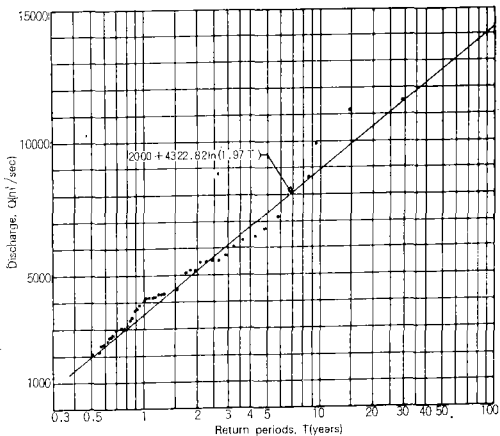


Fig. 5. Probable flood flows according to return periods at Yeo Ju Watershed along Han river system

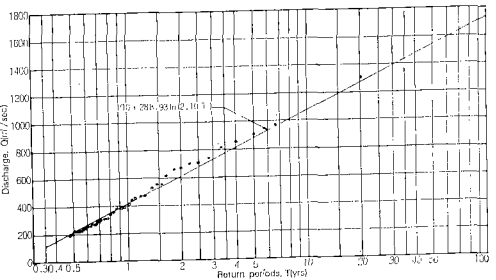


Fig. 7. Probable flood flows according to return periods at Im Ha Watershed along Nak Dong river system

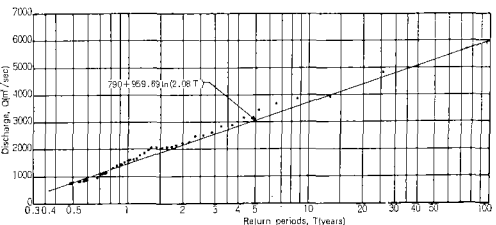


Fig. 8. Probable flood flows according to return periods at Ab Nog Watershed Seom Jin river system

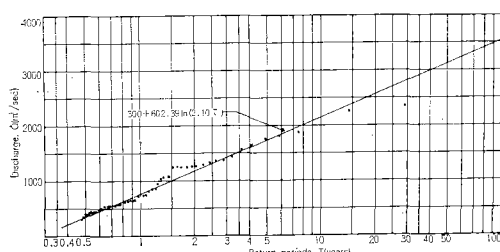


Fig. 6. Probable flood flows according to return periods at Seog Hwa Watershed along Geum river system

### 3. 設計頻度 및 設計壽命期間과 危險度와의 관계분석

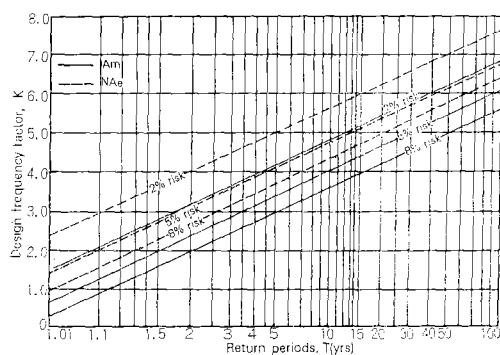
#### 가. 再現期間의 確率分布函數

非年超過值系列에 있어서 再現期間은 어떤 任意로 選定된 始點에서 첫번째 超過事象이 發生할 때까지의 時間間隔으로 定義될 수 있다. 超過事象의 發生

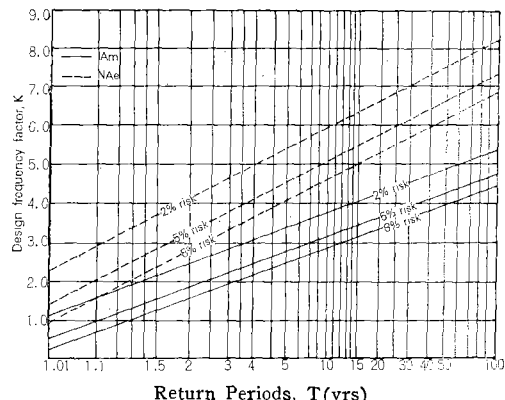


**Table-7. Formulas for design frequency factors according to risk levels for the nonannual exceedance series**

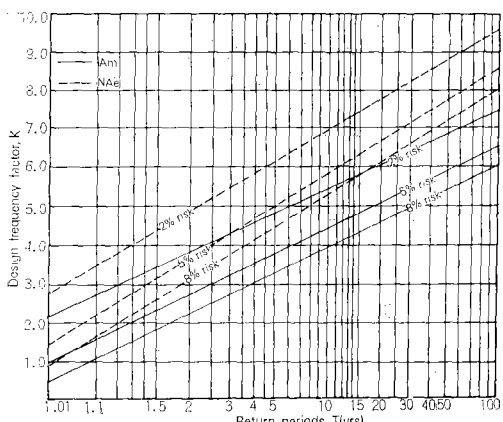
Rivers and Stations	Risk levels	Formulas			Design frequency factor		
		2%	5%	8%	2%	5%	8%
Han River	Jeong Sun	$0.9225(\ln 42.3729T)^{1/2}$	$0.9225(\ln 16.6945T)^{1/2}$	$0.9225(\ln 10.2669T)^{1/2}$	$1.0888(\ln 35.8423T)^{1/2}$	$1.0888(\ln 14.1243T)^{1/2}$	$1.0888(\ln 8.6881T)^{1/2}$
	Yeo Ju	$1.0888(\ln 35.8423T)^{1/2}$	$1.0888(\ln 14.1243T)^{1/2}$	$1.0888(\ln 8.6881T)^{1/2}$			
Guem River	Seog Hwa	$1.1733(\ln 38.1679T)^{1/2}$	$1.1733(\ln 15.0602T)^{1/2}$	$1.1733(\ln 9.2593T)^{1/2}$	$0.9099(\ln 35.8423T)^{1/2}$	$0.9099(\ln 14.1243T)^{1/2}$	$0.9099(\ln 8.6957T)^{1/2}$
	Gyu Am	$0.9099(\ln 35.8423T)^{1/2}$	$0.9099(\ln 14.1243T)^{1/2}$	$0.9099(\ln 8.6957T)^{1/2}$			
Nak Dong River	Im Ha	$1.0650(\ln 38.3142T)^{1/2}$	$1.0650(\ln 15.0602T)^{1/2}$	$1.0650(\ln 9.2678T)^{1/2}$	$0.8355(\ln 40.6504T)^{1/2}$	$0.8355(\ln 15.9744T)^{1/2}$	$0.8355(\ln 9.8328T)^{1/2}$
	Dong Chon	$0.8355(\ln 40.6504T)^{1/2}$	$0.8355(\ln 15.9744T)^{1/2}$	$0.8355(\ln 9.8328T)^{1/2}$			
	Hyon Pung	$1.2602(\ln 41.1523T)^{1/2}$	$1.2602(\ln 16.2075T)^{1/2}$	$1.2602(\ln 9.9701T)^{1/2}$			
Seom Jin River	Ab Nog	$1.0060(\ln 37.8788T)^{1/2}$	$1.0060(\ln 14.9254T)^{1/2}$	$1.0060(\ln 9.1743T)^{1/2}$			



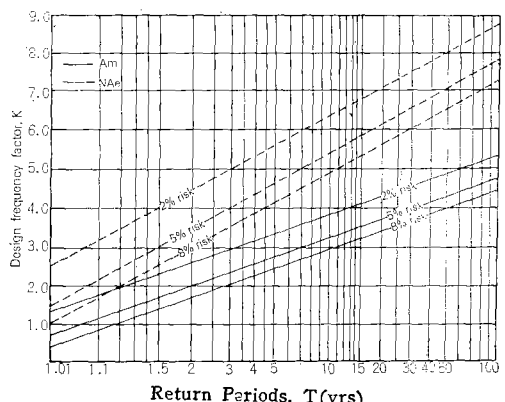
**Fig. 9. Design frequency factor according to risk levels at Jeong Sun along Han river**



**Fig. 11. Design frequency factor according to risk levels at Im Ha along Nak Dong river**



**Fig. 10. Design frequency factor according to risk levels at Seog Hwa along Geum river**



**Fig. 12. Design frequency factor according to risk levels at Ab Nog along Seom Jin river**

같다. 이들 結果에서 보건대 全流域에 걸쳐 設計頻度係數는 再現期間에는 比例하여 增加하는 反面, 危險度 水準이 커질수록 작아지는 反比例 現象을 나타내고 있다. 또한 筆者<sup>20)</sup>가 第1報에서 發表한 年最高時系列의 設計頻度係數와 比較해본 結果 非年超過值系列의 값이 전반적으로 年最高值系列의 값보다 월씬 큼을 看을 수 있다.

以上에서 구해진 流域별 設計頻度係數와 平均值 및 標準偏差와 함께 最終的으로 所期하는 危險度를 고려한 水準별 設計洪水量의 誘導가 가능하게 된다.

#### IV. 摘要

本研究는 우리 나라 主要水系인 漢江, 錦江, 洛東江 및 謄津江의 8個流域에 대한 非年超過值系列의 發生數 및 크기에 대한 確率分布特性과 이에 따른 設計頻度별 洪水量, 設計頻度 및 設計壽命期間과 危險度와의 관계를 분석하고 종국적으로 水準별 危險度를 考慮한 流域별 設計頻度係數와 設計洪水量을 誘導하고자 하는 것으로 本研究에서 얻어진 結果를 簡要하면 다음과 같다.

1. 漢江, 錦江, 洛東江 및 謄津江의 選定流域에 있어서 超過事象의 發生數는 Poisson 分布가, 超過事象의 크기는 指數分布가 각각 適正分布型으로 檢定되었다.

2. 指數確率分布에 의한 流域별 및 再現期間별 確率洪水量式과 確率洪水量을 誘導하였다.

3. 非年超過值系列에서의 再現期間 및 設計壽命期間과 危險度와의 相關關係式을 定立하였다.

4. 危險度의 水準을 달리하고 再現期間과 設計壽命期間을 같게 한 設計頻度係數에 關한 經驗式을 流域별로 誘導하였다.

5. 設計頻度係數는 再現期間에 比例하여 增加하고 危險度水準이 커질수록 작아지는 反比例 現象을 나타내었으며 第1報에서 얻어진 年最高值系列의 頻度係數와의 比較에서는 全體 危險度 水準에 걸쳐 非年超過值系列의 값이 월씬 높게 나타났다.

6. 流域별로 誘導된 設計頻度係數에 의거하여 危險度 水準을 고려한 設計洪水量의 誘導를 가능하게 하였다.

本研究는 1984年度 韓國科學財團의 研究費支援에 의하여 遂行된 것임

#### 考文獻

- American Water Works Association(1966) : Spillway design practice, AWWA manual, No. M13, New York.
- Ang, Alfredo H.S. and Tang, W.H.(1975) : Probability Concepts in Engineering Planning and Design. Vol. 1. John Wiley & Sons, Inc. pp.261—318.
- Bernier, J. (1967) : Les Methodes Bayesienes en Hydrologie statistique, 1st Intern. Hydrology symp., Vol. 1, pp.459—470, C.S.U., Fort collins, Colo..
- Biswas, A.K. and S. Chatterjee(1971) : Dam disasters, J. Engineering Institute of Canada Vol. 54, No. 3, pp.3—8.
- Chow, V.T. (1950) : Discussion of annual floods and the partial duration flood series, Trans. of the Amer. Geophys. Union, 31, p. 939.
- \_\_\_\_ (1964) : Handbook of Applied Hydrology (Section 8), McGraw-Hill Book CO., New York.
- \_\_\_\_ (1979) : Risk and Reliability analysis applied to Water Resources in Practice, W.R.P., pp.243—252.
- Conover, W.J. (1971) : Introduction to Bayesian methods using the Thomas-Fiering Model, W.R.R. Vol. 7, No. 2, pp.406—409.
- Davis, D.R., Kisiel, C.C., and Duckstein, L. (1972) : Bayesian decision theory applied to design in Hydrology, W.R.R., Vol. 8, No. 1, pp.33—41.
- Emir Zelenhasic(1970) : Theoretical probability distributions for flood peaks, Hyd. papers, No. 42, C.S.U., pp.1—21.
- Feller, W. (1957) : An Introduction to probability theory and its applications, Vol. 1, John Wiley and Sons, New York.
- Haan, C.T. (1977) : Statistical methods in Hydrology, I.S.U. Press, Ames.
- Kite, G.W. (1977) : Frequency and Risk analysis in Hydrology. W.R.P., pp.69—127.
- 建設部(1962—1978) : 韓國水文調査書

15. \_\_\_\_\_ (1974) : 韓國河川調査書
16. \_\_\_\_\_ (1979--1982) : 韓國水文調査年報
17. \_\_\_\_\_ (1978) : 錦江流域調査報告書(水文編)
18. \_\_\_\_\_ (1983) : 洪水量測定調査報告書
19. 李淳赫, 朴明根(1983) : 過正洪水頻度와 危險度分析에 관한 研究, 韓國農工學會誌, Vol. 25, No. 3, pp.79-86.
20. \_\_\_\_\_ (1985) : 水利構造物의 破壞危險度와 設計洪水量에 관한 水文學的研究(I), 韓國農工學會誌, Vol. 27. No. 2, pp.23-37.
21. Mays, L.W. and Tung, Y.K. (1981) : Risk models for flood levee design, W.R.R., Vol. 17, No. 4, pp.833-841.
22. Shane, R.M. (1966) : A Statistical analysis of Base flow flood discharge data, PhD thesis, Cornell University.
23. Tang, W.H. and Yen, B.C. (1972) : Hydrologic and Hydraulic design under uncertainties, Int. Symp. on uncertainties in Hydrologic and Water Resources Systems, Univ. of Arizona, pp.868-882.
24. Yen, B.C. (1970) : Risks in Hydrologic design of Engineering Projects, Jour. of Hydraulic Div. ASCE. Vol. 96, No HY4, pp.959-966.
25. \_\_\_\_\_ and Ang, A.H.S. (1971) : Risk analysis in design of Hydraulic Projects, Stochastic Hydraulics, 1st International Symposium on Stochastic Hydraulics, pp.694-709.
26. Yevjevich, V. (1972) : Probability and Statistics in Hydrology, W.R.P. Colorado.
27. \_\_\_\_\_ (1973) : Analysis of risks and uncertainties in flood control, W.R.P. pp. 363-374.